



## La méthode HEML : Calcul de déformations de corps mous en simulation interactive de chirurgie

François Goulette

Centre de Robotique (CAOR), Mines ParisTech  
Courriel : francois.goulette@mines-paristech.fr

GdR STIC-Santé  
6 février 2009

## SOMMAIRE

- 1) Introduction
- 2) La méthode « Hyper-Elastic Mass-Links »
- 3) Mise en œuvre pour différentes lois de comportement
- 4) Comparaisons et conclusions

## Simulateurs de chirurgie virtuelle



Nombreux intérêts potentiels

- Pédagogique
- Pratique
- Éthique
- Économique

Besoin en calculs de déformations de corps mous interactifs et réalistes.

## Réalisme

- Modèles physiques des déformations des matériaux
  - Mécanique des Milieux Continus (MMC)
- Grandes déformations et grands déplacements
  - Hyper-élasticité (hors plasticité)
- Lois de comportement et paramètres adaptés
  - Identification expérimentale

## Interactivité – calcul numérique

- Modélisation dynamique
- Discrétisation spatiale
  - E.g. découpage en tétraèdres (éléments P1 des Éléments Finis)
- Intégration d'équations différentielles du 2<sup>e</sup> ordre
  - Pas de temps  $\Delta t_{sim}$
- Rapide
  - La simulation doit tenir la fréquence de rafraîchissement graphique (30 Hz)
  - Soit :  $\Delta t_{calc} < 33$  ms

## Modèles existants (1/3)

- Famille « Masse-ressort »
  - Très rapide
  - Réalisme pauvre (pas de MMC)

• Equation dynamique :

$$\text{En chaque nœud : } m_i \ddot{x}_i + \gamma_i \dot{x}_i + \sum_j f_{ij} = f_{ext_i}$$

$$\text{Force élastique : } f_{ij} = k_{ij} \times \left( \|x_i - x_j\| - \|x_i - x_j\|^0 \right) \times \frac{x_i - x_j}{\|x_i - x_j\|}$$

## Modèles existants (2/3)

- Famille « Méthode des Eléments Finis »
  - Bon réalisme (MMC)
  - Coûteux en temps de calcul
  - Souvent utilisé avec approximations : élasticité linéaire, petites déformations, petits déplacements, solutions statiques
- Equation dynamique :

Sur l'ensemble du maillage :  $M\ddot{X} + \gamma(\dot{X}) + F(X) = F_{ext}$

7 Centre de Robotique

## Modèles existants (3/3)

- Le modèle Masse-Tenseur
  - Rapide et réaliste
  - Basé sur MEF, maillage tétraédrique (P1)
  - MMC... mais limité à une seule loi de comportement (Saint Venant – Kirchhoff)
- Equation dynamique

Sur l'ensemble du maillage :  $M\ddot{X} + \gamma(\dot{X}) + F(U) = F_{ext}$

↑  
écarts aux valeurs initiales

8 Centre de Robotique

## SOMMAIRE

- 1) Introduction
- 2) La méthode « Hyper-Elastic Mass-Links »
- 3) Mise en œuvre pour différentes lois de comportement
- 4) Comparaisons et conclusions

9 Centre de Robotique

## 2) La méthode HEML « Hyper-Elastic Mass Links »

- Méthode rapide pour le calcul du champ de forces élastiques
  - Valable pour un maillage tétraédrique (P1 MEF)
  - Matériau homogène isotrope
  - Non linéaire, grands déplacements et grandes déformations
- Générique
  - Toute loi de comportement de matériau hyper-élastique
  - Utilise la formulation énergétique  $W(C)$

↑  
tenseur de Cauchy-Green

10 Centre de Robotique

## Formulation des équations dynamiques (1/3)

- 1) En disposant d'une formulation énergétique  $W(C)$ ,  $F$  s'écrit :

$$F(X) = \frac{\partial W}{\partial X}$$

Remarque : hypothèse large incluant tous les matériaux de type « hyper-élastique » dont Néo-Hooke, Mooney-Rivlin, Saint Venant-Kirchhoff

11 Centre de Robotique

## Formulation des équations dynamiques (2/3)

- 2) Sous l'hypothèse P1 (maillage tétraédrique), l'énergie est décomposable par tétraèdre :

$$F_i = \frac{\partial W}{\partial X_i} = \sum_{T_j} F_{i,T_j}$$

$$\text{Avec : } F_{i,T_j} = \frac{\partial W_{T_j}}{\partial X_i}$$

- 3) Sous l'hypothèse P1,  $C$  ne dépend que des liaisons du tétraèdre :

$$C_j = C(L_{T_j}) \iff F_{i,T_j} = \frac{\partial W_{T_j}}{\partial X_i}(L_{T_j})$$

12 Centre de Robotique

## Formulation des équations dynamiques (3/3)

Formulation du type Hyper-Elastic Mass-Links :

$$\begin{cases} M\ddot{X} + \gamma(\dot{X}) + \frac{\partial W}{\partial X}(L) = F_{ext} \\ \frac{\partial W}{\partial X_i} = \sum_{T_j(\text{incidents})} \frac{\partial W_{T_j}}{\partial X_i}(L_{T_j}) \end{cases}$$

13 Centre de Robotique

## Expression analytique des forces à partir de l'énergie

Calcul des forces aux sommets de chaque tétraèdre :

$$F_{i,T_j} = \frac{\partial W_{T_j}}{\partial X_i}(L_{T_j})$$

Calcul analytique : dérivation composée

$$F_{i,T_j} = V_{o_{T_j}} \times \frac{\partial W}{\partial C}(L_{T_j}) \times \frac{\partial C_{T_j}}{\partial L}(L_{T_j}) \times \frac{\partial L}{\partial X_i}(L_{T_j})$$

Avantages :

- Forme analytique simple des forces
- Très rapide à calculer

14 Centre de Robotique

## SOMMAIRE

- 1) Introduction
- 2) La méthode « Hyper-Elastic Mass-Links »
- 3) Mise en œuvre pour différentes lois de comportement
- 4) Comparaisons et conclusions

15 Centre de Robotique

## a) Loi de Néo-Hooke (1/2)

Énergie Néo-Hookéenne (incompressible)

$$W = K_1 \times Tr(C)$$

Incompressibilité : adapté pour organes (eau)

Prise en compte compressibilité dans les calculs : terme additionnel

$$W = K_1 Tr(C) + K_3 \ln\left(\frac{V}{V_0}\right)$$

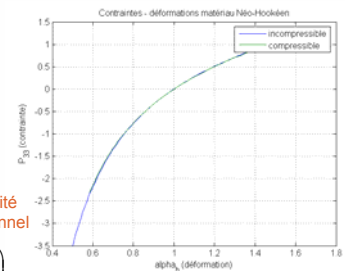


Diagramme contrainte-déformation

16 Centre de Robotique

## Néo-Hooke semi-compressible : Forces aux sommets (HEML)

$$\begin{aligned} [F_1, F_2, F_3, F_4] &= K_1 \times VT_r_0 \times DLM(l_1, l_2, l_3) \\ &+ K_3 \times \frac{V_0}{V} \times [\dots, l_2 \wedge l_3, \dots, \dots] \end{aligned}$$

Vecteur constant sur le tétraèdre

Volume

Produit vectoriel des vecteurs arêtes (liaisons)

Démo saisie cube NH  
Démo chute cube/rein

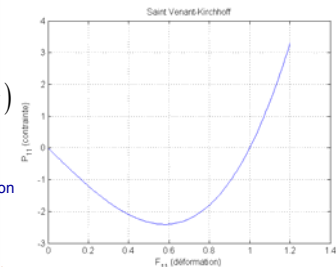
17 Centre de Robotique

## b) Saint Venant - Kirchhoff

Formulation énergétique :

$$W = \frac{\lambda}{2} (Tr(E))^2 + \mu Tr(E^2)$$

Diagramme contrainte-déformation

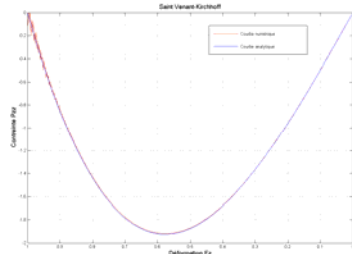
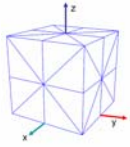


Forces aux sommets (HEML) :

$$[F_1, F_2, F_3, F_4] = \Delta L^T \times MW \times DLM(l_1, l_2, l_3)$$

18 Centre de Robotique

## Comparaison avec solution analytique



- Qualité calcul numérique
- Pertinence physique de la loi de comportement ?
- Démo saisie cube STVK

Comparaison courbes contrainte-déformation analytique et numérique (cube unitaire)

## c) Cas général – loi hyper-élastique

- La méthode s'adapte à TOUTE loi de comportement hyper-élastique isotrope
  - Mooney-Rivlin, Saint-Venant Kirchhoff, Fung and Demiray...
  - Formulation par les « Invariants principaux de C »

$$W = f(C_I, C_{II}, C_{III})$$

$$F_{i,T_j} = \sum_{j \in \{I, II, III\}} \frac{\partial W}{\partial C_j} (L_{T_j}) \times \frac{\partial C_j}{\partial X_i} (L_{T_j})$$

[Gou06] MICCAI CBM

## SOMMAIRE

- 1) Introduction
- 2) La méthode « Hyper-Elastic Mass-Links »
- 3) Mise en œuvre pour différentes lois de comportement
- 4) Comparaisons et conclusions

## a) HEML vs. Masse-Tenseur

- Points communs
  - Formulation énergétique
  - Dérivation aux nœuds
- Méthodes de calcul numérique différentes
  - Masse-tenseur : utilise les déplacements de nœuds par rapport à position initiale
- Masse-tenseur limité à la seule loi de Saint Venant-Kirchoff

## Comparaison du nombre d'opérations

Nombre exact d'opérations (+ x) effectuées par les deux algorithmes pour le calcul du champ de forces, pour différents maillages

	Reg. Cube1	Reg. Cube2	Irreg. Cube	Kidney	Uterus
Mass-Tensor	2 999	36 198	3 935	96 292	318 707
HEML	70	787	89	449	2 500
Gain ratio	43,0	46,0	44,3	214,3	127,5

## b) HEML vs. Masse-Ressort

- Masse-Ressort : cas particulier « dégénéré » de HEML :
  - Formulation des forces (termes croisés des liaisons)
  - Matrice de masse diagonale

$$\text{Masse-Ressort} \begin{cases} m_i \ddot{x}_i + \gamma_i \dot{x}_i + \sum_j f_{ij} = f_{\text{ext},i} \\ f_{ij} = k_{ij} \times \left( \|x_i - x_j\| - \|x_i - x_j\|^0 \right) \times \frac{x_i - x_j}{\|x_i - x_j\|} \end{cases}$$

$$\text{HEML} \begin{cases} M\ddot{X} + \gamma(\dot{X}) + \frac{\partial W}{\partial X}(L) = F_{\text{ext}} \\ \frac{\partial W}{\partial X_i} = \sum_{T_j(\text{incidents})} \frac{\partial W_{T_j}}{\partial X_i}(L_{T_j}) \end{cases}$$

### c) Conclusion

Méthode de calcul du champ de forces qui ne dépend que des liaisons du maillage

- Prend en compte toute loi de comportement hyper-élastique
- Aboutit à une formulation des eq. diff. du type MEF avec une matrice de masse

**Avantages :**

- Gain de temps par rapport aux méthodes existantes,
- Généricité (non linéaire, hyper-élastique)

### Perspectives

- Développements possibles
  - Anisotropie, plasticité
- Comparaisons avec codes de calcul MEF
  - Résultats statiques, dynamiques
  - Temps de calcul

### Temps de calcul

	Reg. Cube1	Reg. Cube2	Irreg.Cube	Kidney	Uterus
Nodes	125	1000	151	829	4362
Tetrahedra	320	3645	407	2053	11445
Comp. time (ms)	0.25	3.5	0.34	2.1	20.0